

閉曲面の写像類群

神戸大 理 鈴木 齊一

1.序 有向多様体 X について、 $\Lambda(X)$ の方向を保つ同相写像 $\psi: X \rightarrow X$ の全体の作用群を表わす。 $\mathcal{D}(X) = \{ \psi \in \Lambda(X) : \psi \approx \text{id.} \}$ とおくと、 $\mathcal{D}(X)$ は $\Lambda(X)$ の正規部分群となることは簡単に確かめられる。そこでの商群 $\Lambda(X)/\mathcal{D}(X)$ を $\mathcal{M}(X)$ と書き、 X の 写像類群 (mapping class group) と言う。
 (Homeotopy groupとか、 Isotopy group と呼ぶこともあるが、これららの呼称を使うときは $\Lambda(X)$ に方向を逆転する同相写像も含める: これが多いようである。ただし厳密な区別はないようなので、文献を参照されるときには定義を確かめられたい。)

ここでは、種数 n の 3 次元有向ハンドル体 V_n と、その境界である有向閉曲面 F_n の写像類群 $\mathcal{M}(V_n)$ と $\mathcal{M}(F_n)$ の生成元をいくつかの簡単な同相写像によって与えることを目的とする。ここで用いる同相写像のほとんどは、寺阪教授(当数理解析研究所)における 1972 年 2 月の研究集会において与えた

もので、上記の結果は我々で提出された問題2。肯定的解答にはなっていなかった（[22]参照）。ただし証明の詳細は[21]において近日公表されるので、ここでは出来りだけ簡単に書き、周辺の諸題を多く書くことにする。

閉曲面の写像類群 $M(F_n)$ については、Birman [3], [4] に詳しい解説があり、Magnus et al. [17] にも扱われているので参考されたい。 $M(F_n)$ の生成元は 1938 年に Dehn [8] によって一応決定されたことになっていたが、Lickorish [15] による单纯化された再証明がある。Birman [4] の証明も本質的に同じ系統。なぜ Dehn twists と呼ぶ写像を利用する。これから与えられた生成元との比較は後に述べよう。定義関係式については、 $n = 1$ の場合は別として、 $n = 2$ の場合に Birman-Hilden [6] によってようやく解決したばかりで、 $n \geq 3$ の場合は未解決であり、残された大きな問題である。

一方ハンドル体の写像類群 $M(V_n)$ については、 $n = 1$ の場合は特別として、 $n = 2$ の場合に Goeritz [10] により生成元が与えられた。また極く最近 Hilden より受取った preprint によれば、この報告とは別の写像を用いて、すべての n について生成元を決定したが、我々の場合よりもかなり複雑である。これとの関連等については、いずれ詳しく論じてみたい。

対象は二・三次元なので、すべて PL 圈で話を進める。

2. $N(V_n)$ と $N(F_n)$ との関係

まず V_n の標準モデルを 3 次元空間 R^3 に図 1 のように定める。簡単に説明すると、球体 B^3 を定め、 ∂B^3 上に互いに素

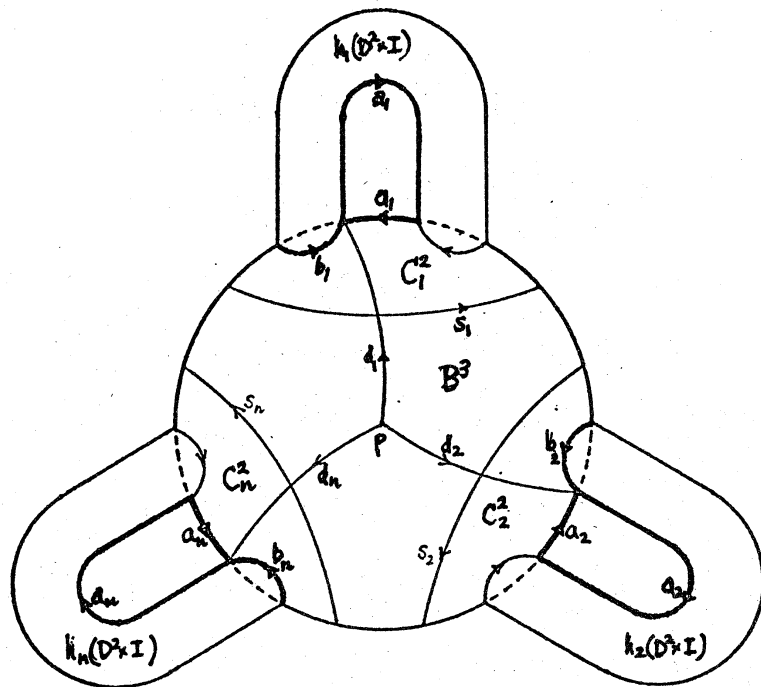


図 1

を円板 C_1^2, \dots, C_n^2 を通る。更に各 C_i^2 の内部に互いに素な円板 $B_{i0} \times B_{i1}$ を通る。 $h_i : D^2 \times I \rightarrow R^3$ を次の条件を満たす埋込みとする (D^2 は単位円板, I は単位閉区間 $[0, 1]$) :

$$h_i(D^2 \times \{0\}) = B_{i0}, \quad h_i(D^2 \times \{1\}) = B_{i1},$$

$$B^3 \cap h_i(D^2 \times I) = \partial B^3 \cap h_i(D^2 \times \partial I) = B_{i0} \cup B_{i1},$$

$$h_i(D^2 \times I) \cap h_j(D^2 \times I) = \emptyset \quad (i \neq j).$$

$V_n \equiv B^3 \cup h_1(D^2 \times I) \cup \dots \cup h_n(D^2 \times I)$ を種数 n のハンドル体の標準モデルとい。方向は R^3 から誘導されるものと与える。ま

た: B_{i0} , $\partial B_{i0} = b_i$, C_i^2 , $\partial C_i^2 = s_i$ は図のよう: 方向を与えておく。 $\partial V_n = F_n$ 上に互い: 素な单纯閉曲線 a_1, \dots, a_n と一点 p を図のよう: 選び、更に点 p と点 $a_i \cap b_i$ を結ぶ单纯弧 d_i を図のよう: 選ぶ。

括弧が重複するのを避けるため、閉曲線とのホモトピー類・ホモロジー類を同じ記号で表わす。すると $\{a_1, \dots, a_n\}$ および $\{a_1, \dots, a_n, b_1, \dots, b_n\}$ はそれぞれ $H_1(V_n; \mathbb{Z})$, $H_1(F_n; \mathbb{Z})$ の基底(共に自由アーベル群)となる。また a_i, b_i, s_i はよって、 p を基点とする閉曲線 $d_i a_i d_i^{-1}, d_i b_i d_i^{-1}, \tilde{d}_i s_i \tilde{d}_i^{-1}$ を表わすことにする(ただし \tilde{d}_i は d_i の適当な部分弧)。すると基本群 $\pi_1(V_n, p)$ は $\{a_1, \dots, a_n\}$ によって生成された自由群で、基本群 $\pi_1(F_n, p)$ は $\{a_1, \dots, a_n, b_1, \dots, b_n\}$ によって生成され、唯一の a)関係式

$$\prod_{i=1}^n b_i^{-1} a_i^{-1} b_i a_i \simeq 1 \quad (\text{rel } p \text{ on } F_n)$$

を持つ。 $s_i \simeq b_i^{-1} a_i^{-1} b_i a_i$ ($\text{rel } p \text{ on } F_n$) もある。

$\pi_1(F_n, p)$ の表示を走めると、 $\mathcal{M}(F_n)$ を純代数的に特徴付けられることが可能で、証明は Nielsen [20] による。单纯を証明は Mangler [19] による。Birman [3, §1], Birman-Hilden [6, §1], Magnus et al. [17, pp. 172~176] 等を参照された。

さて $\{x_1, \dots, x_m\} \subset \pi_1(F_n, p)$ に対し、 $\{x_1, \dots, x_m\}^\circ \subset \{x_1, \dots, x_n\}$ を含む $\pi_1(F_n, p)$ の最小の正規部分群を表わす: とします。

2.1 命題 (Griffiths [12, Th.7.2]) $\iota : F_n \rightarrow V_n$ を自然な包含写像
 ι_* , $K = \ker(\iota_* : \pi_1(F_n, p) \rightarrow \pi_1(V_n, p))$ とするれば,

$$K = \{b_1, \dots, b_n\}^\vee. \quad \blacktriangleleft$$

2.2 命題 (Griffiths [11, Th.10.1], McMillan [18], Zieschang [23])
 $\psi : (F_n, p) \rightarrow (F_n, p)$ を方向を保つ同相写像とするとき, $\psi \in V_n$
 α 同相写像に拡張できる為の必要十分条件は $\psi_*(K) \subset K$. \blacktriangleleft
 \therefore 任意の $\psi \in N(F_n)$ に対し, $\eta \in \mathcal{Q}(F_n)$ が存在して
 $\eta\psi(p) = p$ となることを注意. また任意の $\eta \in \mathcal{Q}(F_n)$ は V_n の
同相写像に拡張でき、 $\mathcal{Q}(V_n)$ に属することを注意. [5]
なお τ Birman は $M(F_n)$ の 2τ の部分群

$$A = \{[\psi] \in M(F_n) : \psi_*(\{a_1, \dots, a_n\}^\vee) \subset \{a_1, \dots, a_n\}^\vee\},$$

$$B = \{[\psi] \in M(F_n) : \psi_*(\{b_1, \dots, b_n\}^\vee) \subset \{b_1, \dots, b_n\}^\vee\}$$

を定義した. 命題 2.1 と 2.2 やより上の注意から B は
 $M(V_n)$ と同型であることが分かる. A と B は互に共役である
ことは明らか. A, B については §6 で扱う.

3. V_n, F_n の基本的同相写像

この節で $M(V_n)$ や $M(F_n)$ の生成元となる同相写像の定義を与える. Baer [1] や Epstein [9] によって与えられた曲面上の閉曲線と isotopy に関する基本的な結果は、特にことわること無く使用する. 同相写像 $\psi \in N(V_n)$ に対し、制限写像 $\psi|_{F_n}$

$\dot{\psi} \in N(F_n)$ を示す。

3.1 ハンドルの巡回的変換: V_n の走査 \circ , $h_i(D^2 \times I) \in V_n$ の i 番目の ハンドルと呼ぼう。点 $p \in$, 球体 B^3 の中心点を結ぶ直線を軸として, V_n は時計の針の回転と同じ向きに $2\pi/n$ ラジアンだけ回転する字像を $\rho \in N(V_n)$ とする。

$$\dot{\rho}_\# : \pi_1(F_n, p) \rightarrow \pi_1(F_n, p) : \begin{cases} a_i \rightarrow a_{i+1} & (1 \leq i \leq n) \\ b_i \rightarrow b_{i+1} & (1 \leq i \leq n) \end{cases}$$

である。ただし添数は modulo n を考へる。即ち $n+1=1$ である。このルールは本稿を通して以後ことわり無く使用する。

3.2 knob a twisting: 単純閉曲線 s_1, \dots, s_n は B^3 で可縮だから、互いに素な円板 C'_1, \dots, C'_n が B^3 上に存在し、 $C'_i \cap \partial B^3 = \partial C'_i$, $\partial C'_i = s_i$ となる。 C'_i は V_n の i 種数 1 のハンドル体 K_i を切り取る。 K_i は i 番目のハンドル $h_i(D^2 \times I)$ を含む; K_i は i 番目の knobと呼ぼう。knob $K_1 \in C'_1$ が固走して図 2 のように π だけひねる字像を $\omega_1 \in N(V_n)$ とする。

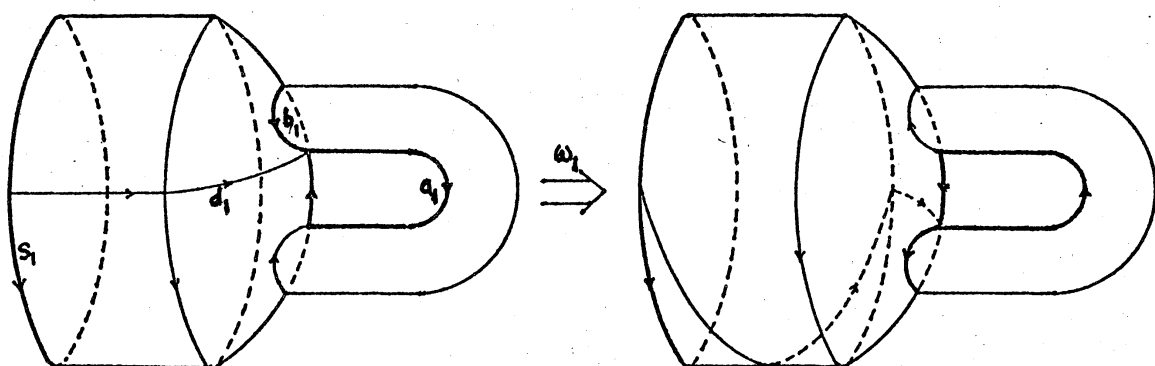


図 2

$$\dot{\omega}_{1\#} : \pi_1(F_n, p) \rightarrow \pi_1(F_n, p) : \begin{cases} a_1 \rightarrow a_1^{-1}s_1^{-1}, & a_j \rightarrow a_j \ (2 \leq j \leq n), \\ b_1 \rightarrow a_1^{-1}b_1^{-1}a_1, & b_j \rightarrow b_j \ (2 \leq j \leq n). \end{cases}$$

となる: とは図から確かめられ。各 i , $1 \leq i \leq n$ に對し。

$$\omega_i = \rho^{i-1} \omega_1 \rho^{-(i-1)}$$

と定めると, $\omega_i \in N(V_n)$ で K_i の twisting によってなる。

3.3 ハンドルの twisting: ここで定義する字像 τ_i が、序で述べた “Dehn twists” の特別の場合で、Lickorish [15] の表現では “C-homeomorphism using b_i ” であり、Birman [3, 4] の表現では “Dehn twist about b_i ” である。實際 $\tau_i \in N(V_n)$ は次のようには定義する: $V_n \neq B_{n,0}$ に沿って切り開き、ハンドル $h_1(D^2 \times I)$ の端 $h_1(D^2 \times \{0\}) \neq 2\pi$ だけ回転して再び貼り合せる。

$$\dot{\tau}_{1\#} : \pi_1(F_n, p) \rightarrow \pi_1(F_n, p) : \begin{cases} a_1 \rightarrow a_1 b_1^{-1}, & a_j \rightarrow a_j \ (2 \leq j \leq n), \\ b_i \rightarrow b_i \ (1 \leq i \leq n). \end{cases}$$

$$\tau_i = \rho^{i-1} \tau_1 \rho^{-(i-1)} \quad (1 \leq i \leq n).$$

一般に $c \in F_n$ 上の單純閉曲線とするとき, $c \in F_n$ を切り開き、free ends が一方を 2π 回転して再び貼り合せる: これは “Dehn twist about c ” と定義される。この字像は $F_n \rightarrow F_n$ で、 c が V_n で可縮なとき $V_n \rightarrow V_n$ に拡張される。

3.4 二つの knobs の 交換: ∂B^3 上で s_1 と s_2 を結ぶ單純弧 e で、 $e \cap (s_1 \cup \dots \cup s_n \cup d_1 \cup \dots \cup d_n) = e \cap (s_1 \cup s_2) = \partial e$ となるように選び、 $C \in C_1^2 \cup e \cup C_2^2$ の ∂B^3 上の正則近傍とする。

円板 C の内部を π だけ時計の針の回転方向に回転する：
 とします。同相写像 $\rho'_{12}: F_n \rightarrow F_n$ で、 $\rho'_{12}(C_1^2) = C_2^2$, $\rho'_{12}(C_2^2) = C_1^2$
 を与え得る。 $\partial C \cong 1$ in V_n だから。 ρ'_{12} は V_n の同相
 写像は拡張され、 $\rho'_{12}(K_1) = K_2$, $\rho'_{12}(K_2) = K_1$ である。そこで写

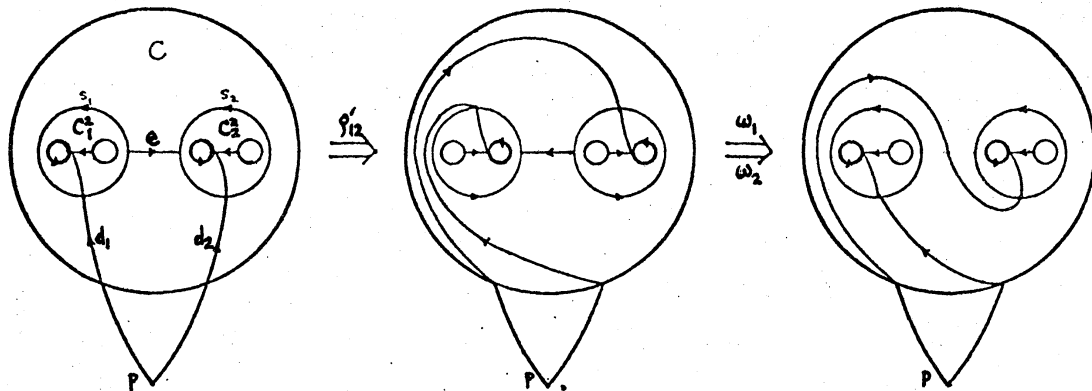


図 3

像 ω_1 と ω_2 を合成して、写像 $\rho_{12} \in N(V_n)$ を得る：

$$\rho_{12} = \omega_2 \omega_1 \rho'_{12}.$$

$$\rho'_{12\#}: \pi_1(F_n, p) \rightarrow \pi_1(F_n, p) : \begin{cases} a_1 \rightarrow s_1^{-1} a_2 s_1, & a_2 \rightarrow a_1, \\ a_j \rightarrow a_j \quad (3 \leq j \leq n), \\ b_1 \rightarrow s_1^{-1} b_2 s_1, & b_2 \rightarrow b_1, \\ b_j \rightarrow b_j \quad (3 \leq j \leq n). \end{cases}$$

更に ρ_{12} を利用して、一般に $\rho_{ij} \in N(V_n)$ を定義する：

$$\rho_{i,i+1} = \rho^{i-1} \rho_{12} \rho^{-(i-1)} \quad (1 \leq i \leq n),$$

$$\rho_{i,i+r} = (\rho_{i,i+1}^{-1} \cdots \rho_{i+r-2, i+r-1}^{-1}) \rho_{i+r-1, i+r} (\rho_{i+r-2, i+r-1} \cdots \rho_{i,i+1}).$$

$$(1 \leq i \leq n, 1 \leq r \leq n-1).$$

少し複雑な走義になつたが、幾何学的には $s_i \sim s_{i+r}$ を結ぶ單純弧 e と、 $e \cap (s_1 \cup \dots \cup s_n \cup d_1 \cup \dots \cup d_n) = e \cap (s_i \cup s_{i+r}) = \partial e$ となるように選び、これから後は ρ_{12} と同じ手順で走義される写像と同じである。

3.5 Spin と Sliding：寺阪[22] の“くぐる”と“わたる”変換を、Birman [4, pp.166~7] の spin との関係で改めて走義する。

$V_n^i = V_n - h_i(D^2 \times I)$ とする。 ∂V_n^i 上の二つの円板 B_{i0} と B_{i1} の中心点を z_{i0}, z_{i1} とする。 ∂V_n^i 上の有向單純閉曲線 c で、 $z_{i0} \notin c, z_{i1} \in c$ なるものに對し、 c の ∂V_n^i 上の附近傍 N は $(y, \theta), -1 \leq y \leq 1, 0 \leq \theta \leq 2\pi$, で助復数表示する。もちろん $y=0$ で c を、 $z_{i1} = (0, 0)$ である。このとき、 c に周する z_{i1} は spin と呼ばれる方向を保つ同相写像 $\dot{\sigma}_{cz_{i1}} : \partial V_n^i \rightarrow \partial V_n^i$ である。次のように走義する (Birman [4] の走義をすこし変えてある)：

$$\dot{\sigma}_{cz_{i1}}(y, \theta) = (y, \theta + 2\pi(2y-1)) \quad \text{if } \frac{1}{2} \leq y \leq 1,$$

$$\dot{\sigma}_{cz_{i1}}(y, \theta) = (y, \theta - 2\pi(2y+1)) \quad \text{if } -1 \leq y \leq -\frac{1}{2},$$

$$\dot{\sigma}_{cz_{i1}}(y, \theta) = (y, \theta) \quad \text{if } -\frac{1}{2} \leq y \leq \frac{1}{2}.$$

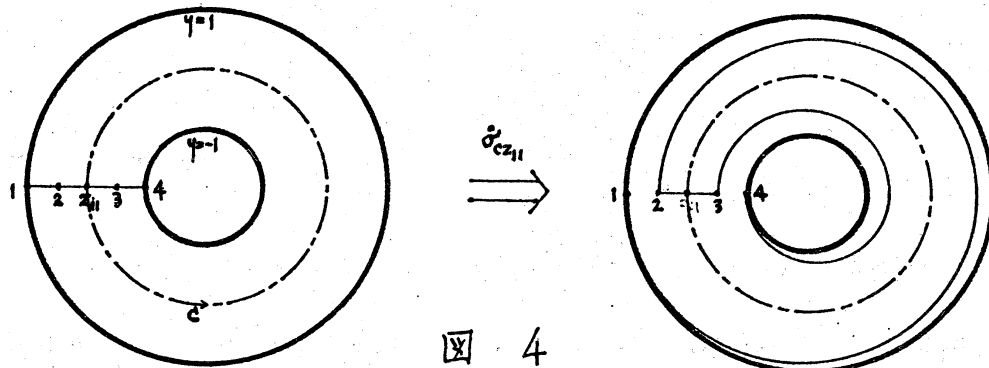


図 4

もちろん N の外部では恒等写像とする(図4参照)。 $\sigma'_{c_{z_{i1}}}$ は同相写像 $\sigma'_{c_{z_{i1}}} : V_n^i \rightarrow V_n^i$ に拡張されるが、この写像を C に閉する z_{i1} の spin と呼ぼう。さて $B_{i1} \subset N$ で $-\frac{1}{2} < y < \frac{1}{2}$ の範囲にあり、 $B_{i0} \cap N = \emptyset$ と仮定してよい。そして $\sigma'_{c_{z_{i1}}}$ を同相写像 $\sigma'_{cB_{i1}} : V_n \rightarrow V_n$ は、 $\sigma'_{cB_{i1}}|_{h_i(D^2 \times I)} = id.$ として拡張する；これを C に閉する B_{i1} の sliding と呼ぼう。有向単純閉曲線 c を $z_{i0} \in c$, $z_{i1} \notin c$ になるとように述べば、 C に閉する B_{i0} の sliding $\sigma'_{cB_{i0}}$ も全く同様に定義される。

∂V_n^i 上の有向単純閉曲線 c で、 $z_{i0} \in c$, $z_{i1} \notin c$ (または $z_{i0} \notin c$, $z_{i1} \in c$)なるものを多用するので、便宜上このようないのを z_{i1} -ループ (または z_{i1} -ルート) と呼ぶ。次の二つの補題は定義からすぐに得られ、以後基本的役割を果す。

3.6 補題: (1) c を z_{i1} -ループで、 $\partial V_n^i - z_{i0} \cap c \cong 1$ (rel z_{i1}) とする。 $C^2 \subset \partial V_n^i$ は c が bound する円板とし、 ∂V_n^i から誘導される方向を持つとする。このとき、 $\sigma'_{cB_{i1}}$ は、 c の方向と ∂C^2 の方向と一致するか否かによって、 τ_i^{-1} または τ_i とイソトープである。

(2) c_1 と c_2 を共に z_{i1} -ループとし、 $c_1 \cong c_2$ (rel z_{i1}) とする。 $\sigma'_{c_1 B_{i1}}$ と $\sigma'_{c_2 B_{i1}}$ は (modulo τ_i) イソトープである。◀

3.7 補題: c_0, c_1, \dots, c_m を z_{i1} -ループとし、 $\partial V_n^i - z_{i0} \cap c_0 \cong c_1 \cdots c_m$ (rel z_{i1}) とすれば、 $\sigma'_{c_0 B_{i1}}$ は $\sigma'_{c_m B_{i1}} \cdots \sigma'_{c_1 B_{i1}}$ と

(modulo τ_i) イソトープである。 ◀

さて ∂V_n^i 上に 2 種類の z_{i1} -ループを巡んで、特種を slidings を選び出そう。

3.8. Sliding θ : $\alpha \in z_{i1}$ -ループの次の条件を満たすものとする: $\alpha \cap (a_2 \cup b_2 \cup \dots \cup a_n \cup b_n \cup d_1 \cup \dots \cup d_n) = \alpha \cap b_2$, $i = k$ は唯一の交叉点から成り, $\partial V_n^i - z_{i0} \cap \alpha \cong a_2$. $\tau_i = \tau$.

$$\theta_{12} = \sigma'_{\alpha B_{11}} \cdot \tau_1^{-1}.$$

$$\dot{\theta}_{12*}: \pi_1(F_n, p) \rightarrow \pi_1(F_n, p): \left\{ \begin{array}{l} a_1 \rightarrow a_1(b_2^{-1} a_2^{-1} b_2), \\ a_j \rightarrow a_j \quad (j \neq 1), \\ b_2 \rightarrow a_2 b_2 (a_1^{-1} b_1 a_1) (b_2^{-1} a_2^{-1} b_2), \\ b_j \rightarrow b_j \quad (j \neq 2). \end{array} \right.$$

θ_{12} を使ってば、一般に $\theta_{ij} \in \mathcal{N}(V_n)$ の次式で定義される:

$$\theta_{1,1+r} = \rho_{2,1+r} \theta_{12} \rho_{2,1+r}^{-1}, \quad \theta_{i,1+r} = \rho^{i-1} \theta_{1,1+r} \rho^{-(i-1)}$$

$$t=t \quad 1 \leq r \leq n-1, \quad 2 \leq i \leq n.$$

また $\sigma'_{\alpha B_{10}}$ の方は ω_1 を用いて $\sigma'_{\alpha B_{11}}$ で表わされる。

$$\theta_{12}^* = \omega_1^{-1} \theta_{12} \omega_1, \quad \theta_{1,1+r}^* = \rho_{2,1+r}^* \theta_{12}^* \rho_{2,1+r}^{-1}, \quad \theta_{i,1+r}^* = \rho^{i-1} \theta_{1,1+r}^* \rho^{-(i-1)}.$$

θ_{ij} 等を字像の合成で定義したので、幾何学的意味が不明になつたか。実は上記 α の代りに次のような z_{i1} -ループ α に関する $\sigma'_{\alpha B_{i1}} \cdot \tau_i^{-1}$ の合成である: $\alpha \cap (a_1 \cup b_1 \cup \dots \cup \check{a}_i \cup \check{b}_i \cup \dots \cup a_n \cup b_n \cup d_1 \cup \dots \cup d_n) = \alpha \cap b_j$ は唯一つの交叉点から成り、

$\partial V_n^i - z_{i1} \cap \alpha \cong a_j$ である。 θ_{ij}^* も同様である。

3.9 Sliding ξ : 次に $z_{11}-\text{ルーツ}^\circ \beta$ を次のようにして: $\beta \cap (\alpha_2 \cup b_2 \cup \dots \cup a_n \cup b_n \cup d_1 \cup \dots \cup d_n) = \beta \cap \alpha_2$ は唯一の交叉点から成り. $\partial V_n^1 - z_{10} \in \beta \cong b_2$. すなはち

$$\xi_{12} = \sigma_{\beta B_{11}} \cdot \tau_i^{-1}.$$

$$\dot{\xi}_{12\#}: \pi_1(F_n, p) \rightarrow \pi_1(F_n, p): \begin{cases} a_1 \rightarrow b_1 a_1 b_2^{-1} s_2 (a_1^{-1} b_1^{-1} a_1), \\ a_2 \rightarrow a_2 b_2 (a_1^{-1} b_1^{-1} a_1) b_2^{-1}, \\ a_j \rightarrow a_j \quad (j \neq 1, 2), \\ b_j \rightarrow b_j \quad (1 \leq j \leq n). \end{cases}$$

θ の場合と全く同様にして. $\xi_{ij}^*, \xi_{ij}^{**} \in N(V_n)$ を定義する:

$$\begin{aligned} \xi_{1,1+r} &= \rho_{2,1+r} \xi_{12} \rho_{2,1+r}^{-1}, \quad \xi_{i,i+r} = \rho^{i-1} \xi_{1,1+r} \rho^{-(i-1)}, \\ \xi_{12}^* &= \omega_1^{-1} \xi_{12} \omega_1, \quad \xi_{1,1+r}^* = \rho_{2,1+r} \xi_{12}^* \rho_{2,1+r}^{-1}, \quad \xi_{i,i+r}^* = \rho^{i-1} \xi_{1,1+r}^* \rho^{-(i-1)}, \\ &\quad (1 \leq r \leq n-1, \quad 2 \leq i \leq n). \end{aligned}$$

ξ_{ij} の幾何学的意味は、次に挙げた条件を満たす $z_{11}-\text{ルーツ}^\circ \beta$ は常に $\sigma_{\beta B_{11}} \cdot \tau_i^{-1}$ の合成写像である: $\beta \cap (\alpha_1 \cup b_1 \cup \dots \cup \check{\alpha}_i \cup \check{b}_i \cup \dots \cup a_n \cup b_n \cup d_1 \cup \dots \cup d_n) = \beta \cap \alpha_j$ は唯一の交叉点から成り.

$$\partial V_n^i - z_{10} \in \beta \cong b_j.$$

3.10 補題: c を任意の $z_{11}-\text{ルーツ}^\circ$ とすれば. $\sigma_{cB_{11}}$ は $\theta_{ij}^{\pm 1} \circ \xi_{ij}^{\pm 1} \circ \tau_i^{\pm 1}$ の積とイントーフである ($j \neq i, \quad 1 \leq j \leq n$).

証明: 写像の定義から $i=1$ の場合に証明すれば十分である。

∂V_n^1 上に $z_{11}-\text{ルーツ}^\circ \alpha_2, \dots, \alpha_n, \beta_2, \dots, \beta_n$ を次の条件を満たすようにして: $\alpha_j \cap \alpha_k = z_{11} (j+k)$, $\beta_j \cap \beta_k = z_{11} (j+k)$, $\alpha_j \cap \beta_k = z_{11}$

$(1 \leq j, k \leq n)$, かつ α_i, β_j は 3.8 および 3.9 の α と β の条件を満たす。すると $\{\alpha_1, \dots, \alpha_n, \beta_1, \dots, \beta_n\}$ は階数 $2n-2$ の自由群 $\pi_1(\partial V_n^1 - z_{10}, z_{11})$ の自由基底となる。従って c は $\partial V_n^1 - z_{10}$ 上で $\alpha_1^{\pm 1}, \dots, \alpha_n^{\pm 1}, \beta_1^{\pm 1}, \dots, \beta_n^{\pm 1}$ の積とホモトープである。従って補題 3.6 と 3.7 より、補題が結論される。◀

3.11 系: $\sigma_{cB_{10}}, \sigma_{cB_{11}}$ はいずれも $\rho^{\pm 1}, \rho_{12}^{\pm 1}, \omega_1^{\pm 1}, \tau_1^{\pm 1}, \theta_{12}^{\pm 1}, \gamma_{12}^{\pm 1}$ の積とイソトープである。◀

3.12 写像 μ_i : 最後に同相写像 $\mu_i \in N(F_n)$ で、 $\mu_i \in N(V_n)$ なるものを一種導入しておく。 K_1 を 3.2 で導入した knob をするとき、 $U_1 = \partial K_1 \cap \partial V_n$ とおく。 U_1 は連結で種数 1 の有向曲面で、 $\partial U_1 = s_1$ である。 U_1 を単純閉曲線 $a_1 = b_1$ で切り開いて円管 U'_1 を得る。 U'_1 の一方の境界 s_1 を固定し、新しい境界を $\pi/2$ だけひねることにより、同相写像 $\mu_1 \in N(F_n)$ を得る。 $\mu_1(a_1) = b_1, \mu_1(b_1) = -a_1$ で $\mu_1|_{F_n - U_1} = id$ である。

$$\mu_{1\#}: \pi_1(F_n, p) \rightarrow \pi_1(F_n, p): \begin{cases} a_1 \mapsto a_1^{-1} b_1 a_1, & a_j \mapsto a_j \ (j \neq 1), \\ b_1 \mapsto a_1^{-1}, & b_j \mapsto b_j \ (j \neq 1). \end{cases}$$

$$\mu_i = \rho^{i-1} \mu_1 \rho^{-(i-1)}, \quad 1 \leq i \leq n.$$

4. $M(V_n), M(F_n)$ の生成元

前節で導入した写像によって、 $M(V_n), M(F_n)$ が生成されることを示そう。定理の形にまとめるところをようになります。

4.1 定理： (1) $\mathcal{M}(V_n)$ は、 $[\rho], [\rho_{12}], [\omega_1], [\tau_1], [\theta_{12}], [\xi_{12}]$ によって生成される。特に $\mathcal{M}(V_0) \cong 0$ で、 $\mathcal{M}(V_1)$ は $[\omega_1], [\tau_1]$ によって生成され、 $\mathcal{M}(V_2)$ は $[\rho], [\omega_1], [\tau_1], [\theta_{12}], [\xi_{12}]$ によって生成される。

(2) $\mathcal{M}(F_n)$ は $[\rho], [\tau_1], [\theta_{12}], [\mu_1]$ によって生成される。特に $\mathcal{M}(F_0) \cong 0$ で、 $\mathcal{M}(F_1)$ は $[\tau_1], [\mu_1]$ によって生成される。◀

4.2 $n=0$ と $n=1$ の場合： F_0 は球面、 V_0 は球体であることを思い出してもらえば、 $\mathcal{M}(V_0) \cong \mathcal{M}(F_0) \cong 0$ はおなじみのことである。 $n=1$ の場合は、 $\pi_1(F_1) \cong H_1(F_1)$ で階数2の自由アーベル群であり、昔から多くのことが知られていく。ここの証明を割愛するが、一般の場合を参考にして確かめられたい。

4.3 定理4.1(1) の証明：今後 $n \geq 2$ と仮定する。証明は種類別に用する帰納法でなされ、系3.11とBirman[4]の結果を本質的に利用する。便宜上 2段階に分けて書こう：

(第1段) $G = \{\rho^{\pm 1}, \rho_{12}^{\pm 1}, \omega_1^{\pm 1}, \tau_1^{\pm 1}, \theta_{12}^{\pm 1}, \xi_{12}^{\pm 1}\}$ とおき、 $S(n) \in \mathcal{N}(V_n)$ の部分群で、すべての slidings によって生成されるものを表わす。補題3.10により、 $S(n)$ は $\theta_{ij}^*, \theta_{ij}^+, \xi_{ij}^*, \xi_{ij}^+$ および τ_i^* によって生成される部分群である。系3.11により、 $\rho, \rho_{ij}, \omega_1$ 、および $S(n)$ の元のイソトピー類によって $\mathcal{M}(V_n)$ が生成されることを証明すれば十分である。

$\psi \in \mathcal{N}(V_n)$ を任意の元とする。まず次が成立する：

4.4 補題： G の元と $\mathfrak{D}(V_n)$ の元の積で書けた元 $\psi_0 \in \mathcal{N}(V_n)$ が存在して、 $\psi_0 \psi|_{B_{n0}} = \text{id.}$ となる。

証明： $\nabla = B_{10} \cup B_{11} \cup \cdots \cup B_{n0} \cup B_{n1}$ とおく。 V_n は既約だから、 $\eta_1 \in \mathfrak{D}(V_n)$ が存在して、 $\eta_1 \psi(B_{n0}) \cap \nabla$ は有限個の单纯弧のみから成るとしてよい； $\eta_1 \psi \equiv \psi_1$ と書く。 $\psi_1(B_{n0}) \cap \nabla$ から $\psi_1(B_{n0})$ 上で最小の单纯弧 l を選び、 l から $\psi_1(B_{n0})$ から切り取る円板を Δ とする： $\text{int } \Delta \cap \nabla = \emptyset$ ， $l \subset \psi_1(B_{n0}) \cap B_{k0}$ と仮定し。
 $m = \partial \Delta - l$ とおく。

今 $m \subset h_k(\partial D^2 \times I)$ ならば、 $\eta_0 \in \mathfrak{D}(V_n)$ が存在して、 $\eta_0 \psi_1(B_{n0}) \cap \nabla \subset \psi_1(B_{n0}) \cap \nabla - l$ とできるから、 $m \cap h_k(\partial D^2 \times I) = \emptyset$ とする。
 単純閉曲線 $l \cup m$ は ∂B^3 を二つの円板 Σ_1 と Σ_2 に分割する。
 今 $\Sigma_2 \supset B_{k1}$ と仮定してよい。もし $B_{i0} \subset \Sigma_1$ ($i \neq k$) をならば、図 5 のよろい $z_{i0} - 1\ell - 7^\circ C$ を選んで $\sigma'_{cB_{i0}}$ を施す。 $\eta_2 \in \mathfrak{D}(V_n)$ が存在して、 $\eta_2 \sigma'_{cB_{i0}}(\Sigma_1) \subset \Sigma_1$ ， $\eta_2 \sigma'_{cB_{i0}}(\Sigma_1) \cap B_{i0} = \emptyset$ となる。簡単の

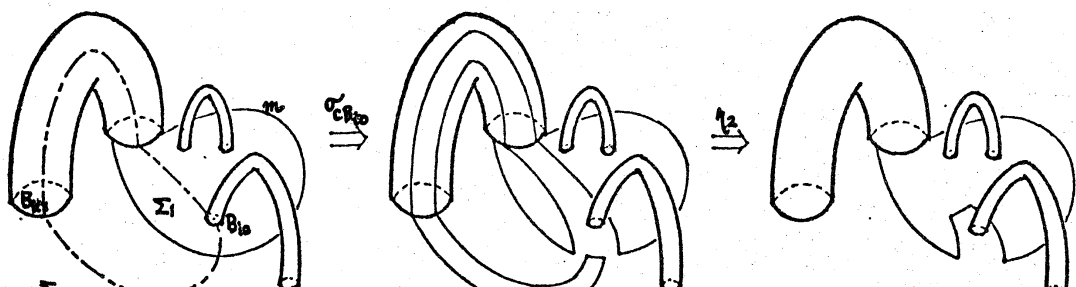


図 5

ためには $\eta_2 \sigma'_{cB_{i0}} \psi_1 \equiv \psi_2$ と書く。 $B_{i1} \subset \Sigma_1$ ($k \neq i$) についても事情は全く同じである。この操作を反復することによって、最後

$\eta \cup m$ は ∂B^3 上で円板 $\Sigma_1 \times \Sigma_2$ を bound し、 Σ_1 は他のハンドルを含まないようになる。こうすれば、 $\eta_3 \in \mathcal{D}(V_n)$ を用いて $\eta_3 \psi_2(B_{n0}) \wedge \nabla \subset \psi_1(B_{n0}) \wedge \nabla - l$ とすることは容易である。結局：
の手順を反復して次が得られる： $\eta \in \mathcal{D}(V) \wedge \sigma \in S(n)$ の存在して、 $\eta \sigma \psi(B_{n0}) \wedge \nabla = \phi$; $\eta \sigma \psi = \psi_3$ とする。

ここで次の二つの場合が考えられる：

Case 1：ハンドル $h_k(D^2 \times I)$ の存在して、 $\psi_3(B_{n0}) \subset h_k(D^2 \times I)$ となるとき； $\partial B_{n0} = b_n \neq 1$ だから。 $\eta_4 \in \mathcal{D}(V_n)$ の存在して。
 $\eta_4 \psi_3(B_{n0}) = B_{k0}$ とできる。 $\rho^{n-k} \eta_4 \psi_3(B_{n0}) = B_{n0}$ である； $\rho^{n-k} \eta_4 \psi_3 = \psi_4$ とおく。 $\psi_4(B_{n0}) \wedge B_{n0}$ の方向が一致するときは、 B_{n0} は円板だから。 $\psi_4|_{B_{n0}} = id.$ とできる。方向が逆転していきときは $w_n \psi_4$ に適当な $\eta_5 \in \mathcal{D}(V_n)$ を選べば、 $\eta_5 w_n \psi_4|_{B_{n0}} = id.$ とできるから。補題 4.4 の証明は完了する。

Case 2： $\psi_3(B_{n0}) \subset B^3$ ：單純閉曲線 $\psi_3(\partial B_{n0}) = \psi_3(b_n) \wedge \partial B^3$ が二つの円板 $\Sigma'_1 \wedge \Sigma'_2$ に分割する。 $b_n \neq 0$ ($\text{on } F_n$) だから。
 $B_{k0} \subset \Sigma'_1$ かつ $B_{k1} \subset \Sigma'_2$ (または $B_{k0} \subset \Sigma'_2$, $B_{k1} \subset \Sigma'_1$) なる V_n のハンドル $h_k(D^2 \times I)$ の存在する。このハンドルを利用して他のハンドルを図 5 と同じ方法で除去する：これによって、 $\Sigma'_1 \wedge \nabla = B_{k0}$ (または $\Sigma'_1 \wedge \nabla = B_{k1}$) とできる。従って $\eta_6 \in \mathcal{D}(V_n)$ は $\eta_6 \psi_3(B_{n0}) = B_{k0}$ (または $\eta_6 \psi_3(B_{n0}) = B_{k1}$) とできるから。Case 1 の同じ議論で補題 4.4 が結論される。

(第2段) オ1段により、定理4.1(1) の証明には、 $\psi|_{B_{n_0}} = \text{id.}$ と仮定してよい。ハンドルの定義から、さらに $\psi|_{h_n(D^2 \times I)} = \text{id.}$ と仮定してよい。さて $\psi' = \psi|_{V_n^n} : V_n^n \rightarrow V_n^n$ とおくと、 $\psi'|_{B_{n_0} \cup B_{n_1}} = \text{id.}$ で、 V_n^n を V_{n-1} とみなすことができる。ここで $\psi \approx \text{id.} \Leftrightarrow \psi' \approx \text{id.}$ であることに注意 (\approx は isotopic の意)。さて帰納法を用ひる準備が完了した。 $\mathcal{M}(V_1)$ は G の元のイソトピー類で生成される。今 $\mathcal{M}(V_{n-1})$ も G の元のイソトピー類で生成されると仮定しよう。

$\mathcal{N}(V_{n-1}; z_{n_0} \cup z_{n_1})$ を、 $\psi \in \mathcal{N}(V_{n-1})$ で $\psi(z_{n_0} \cup z_{n_1}) = z_{n_0} \cup z_{n_1}$ なるもの全体の作る群とし、 $\mathcal{M}(V_{n-1}; z_{n_0} \cup z_{n_1})$ を $\mathcal{N}(V_{n-1}; z_{n_0} \cup z_{n_1})$ の元の $z_{n_0} \cup z_{n_1}$ を固定するイソトピーに関するイソトピー類の作る群とする。Birman [4] の Th.4.2, Th.4.3 および pp.158~160 の結果をまとめると、次のようになる。

4.5 補題: $j : \mathcal{N}(V_{n-1}; z_{n_0} \cup z_{n_1}) \rightarrow \mathcal{N}(V_{n-1})$ を自然な包含写像。
 $j_* : \mathcal{M}(V_{n-1}; z_{n_0} \cup z_{n_1}) \rightarrow \mathcal{M}(V_{n-1})$ を誘導される準同型写像とする、 $\mathcal{M}(V_{n-1}; z_{n_0} \cup z_{n_1})$ は $\ker j_*$ と $\mathcal{M}(V_{n-1})$ の生成元を $\mathcal{M}(V_{n-1}; z_{n_0} \cup z_{n_1})$ ハリフトしても上で生成される。更に $\ker j_*$ は $\bar{\omega}_n = \omega_n|_{V_{n-1}}$ と z_{n_0} および z_{n_1} の spins で生成される。◀

4.6 注意: 必要ならば少しだけ表形して、 G の元は V_{n-1} ($= V_n^n$) の同相写像として $z_{n_0} \cup z_{n_1}$ を固定する……と仮定してよい。◀

従って、補題 4.5 から ψ' は $\bar{w}_n^{\pm 1}, \bar{s}^{\pm 1}, \bar{g}_{12}^{\pm 1}, w_1^{\pm 1}, t_1^{\pm 1}, \theta_{12}^{\pm 1}, \bar{\zeta}_{12}^{\pm 1}$ および $z_{n0} \times z_{n1}$ の spins の積とイソトープである。3.5 で与えた sliding の定義から、 ψ は G の元と w_n と B_{n0} および B_{n1} の slidings の積とイソトープである。 w_n の定義と系 3.11 より ψ は G の元の積とイソトープとなり、これで定理 4.1(1) の証明が完了する。◀

4.7 定理 4.1(2) の証明： Lickorish [15] (c.f. Birman [4]) によく $M(F_n)$ は、単純閉曲線 $a_1, \dots, a_n, b_1, \dots, b_n$ および Y_1, \dots, Y_{n-1} に囲まる Dehn twists によって生成される。ここで Y_j は $\partial B^3 - (B_{j0} \cup B_{j1} \cup \dots \cup B_{nj} \cup B_{n1})$ の単純閉曲線で、 B_{j1} と $B_{j+1,0}$ を含む円板を ∂B^3 で bound するものとする。ところが b_i に囲まる Dehn twist は τ_i (3.5 を見よ) である。 μ_i は $a_i \in b_i$ に移すし、 $\theta_{j,j+1}$ は $Y_j \in b_{j+1}$ に移すから、 $a_i \in Y_j$ に囲まる Dehn twists は各々 $\tau_i \circ \mu_i$, $\tau_{j+1} \circ \theta_{j,j+1}$ の積で表わせる。◀

5. Siegel の Modular Group に関する注意

$H_1(F_n, \mathbb{Z})$ は基底 $\{a_1, \dots, a_n, b_1, \dots, b_n\}$ を持つ自由 \mathbb{Z} 加群だから、 F_n の方向を保つ同相写像によって誘導される $H_1(F_n, \mathbb{Z})$ の自己同型写像の作る群は、Siegel の Modular 群。あるいは整数を要素とする $2n \times 2n$ 次の symplectic 行列の群 $Sp(2n, \mathbb{Z})$ として知られる。Birman [5, §3], Coxeter-Moser [7], Magnus et al. [17] 等を参照。

されたい。 $\psi \in \mathcal{N}(F_n)$ を $\psi_* : H_1(F_n, \mathbb{Z}) \rightarrow H_1(F_n, \mathbb{Z})$ に対応させることにより、自然な準同型写像 $\alpha_* : \mathcal{M}(F_n) \rightarrow \mathrm{Sp}(2n, \mathbb{Z})$ が得られる。 $\mathrm{Sp}(2n, \mathbb{Z})$ の生成元の分り易い決定は Hua-Reiner [13] にあり、Klingen [14] により定義関係式が与えられた。 Dehn twists の写像 α_* による像を用いて、Birman [2] で定義関係式をきちんと整理してある。ところで我々が定理 4.1(2) で与えた写像 α α_* による像は、Hua-Reiner が代数的に与えた生成元に一致し、4.1(1) で与えた写像の α_* による像のほとんどは Klingen [14] で用いた生成元に一致する。興味のある方には詳しい対応をまとめたものを差し上げます。

ついでに一つ注意を： Griffiths [11, §7] で写像 $\theta \in \mathcal{N}(V_n)$ を複雑な図を用いて定義しているが、 $\dot{\theta}_*$ は symplectic 行列ではない。実際は $\theta \in \mathcal{N}(V_n)$ である。この定義を少しぐらへ変えてみると、うまく要求する性質を満たすようにはならない。日本の代りに、我々の定義した写像 $\dot{\theta}_*$ を用いると、[11] の定理 3.1 および系 3.3 が結論される。また Klingen [14] の結果を我々の写像で書き換えてみると、Griffiths [11] の 209 頁上から 17~18 行目にある疑問は肯定的であることがわかる。

6. ホモロジー 3 次元球面

寺阪教授の講演 [22] では、3 次元のホモロジー球面の特徴

付けを行っている。基本的には全く同じ概念で Birman [5] が
3次元ホモロジー球面の特徴付けを与えていたので、興味のある方のために簡単に紹介しておこう。

$V_n, F_n = \partial V_n, a_i, b_i$ 等すべて §2 の記号を用いる。 V'_n は
 V_n のコヒーレンス、 $F'_n = \partial V'_n, a'_i, b'_i$ 等で表わす。同相写像

$$\iota : (F_n, p) \longrightarrow (F'_n, p')$$

で、 $\iota(a_i) = a'_i b'_i a_i'^{-1}, \iota(b_i) = a_i'^{-1}$ ($1 \leq i \leq n$) をするものと一つ固定する。 $\psi \in \mathcal{N}(F_n)$ で $\psi(p) = p$ のとき、 $M = V_n \cup_{\psi} V'_n$ は
 $z \in F_n$ に対して $\psi(z) = \iota(z)$ で定義する。 $\psi_*(a_i), \psi_*(b_i) \in \pi_1(F_n, p)$
を $a_1, \dots, a_n, b_1, \dots, b_n$ の語で書いたものを

$$\left. \begin{array}{l} \psi_*(a_i) = A_i(a_1, \dots, a_n, b_1, \dots, b_n) \\ \psi_*(b_i) = B_i(a_1, \dots, a_n, b_1, \dots, b_n) \end{array} \right\} \quad (1)$$

とおくと、 $\pi_1(V_n \cup_{\psi} V'_n)$ は表示

$$\langle a_1, \dots, a_n \mid A_i(a_1, \dots, a_n, 1, \dots, 1) = 1, i=1, \dots, n \rangle \quad (2)$$

を持つ。 $\psi, \psi' \in \mathcal{N}(F_n)$ で $\psi \approx \psi'$ をうば、 $V_n \cup_{\psi} V'_n$ と $V_n \cup_{\psi'} V'_n$ が同相になることはすぐ分かる。

6.1 命題： $V_n \cup_{\psi} V'_n$ がホモロジー3次元球面になるための
必要十分条件は、 $[\psi] \in AKB$ である。ここで A, B は 2.2
のすぐ後で定義した $\mathcal{M}(F_n)$ の部分群で、 K は $\text{or} : \mathcal{M}(F_n) \rightarrow$
 $\text{Sp}(2n, \mathbb{Z})$ の核である。 ◀

これと、Waldhausen の S^3 の Heegaard 分解についての定理

等を合せれば、割合簡単な議論で次が言える。

6.2 命題: $V_n \cup_{\psi} V'_n$ が真の 3 次元球面であるための必要十分条件は、 $[\psi] \in AKB$ である。 ◀

この結果、Poincaré の予想は代数的に形式化できる：

6.3 亟: Poincaré の予想が正しいことと、次の $\mathcal{M}(F_n)$ に関する予想が正しいことは同値である： $[\psi] \in AKB \subset \mathcal{M}(F_n)$ で、 ψ_* の $\pi_1(F_n, p)$ 上の action が (1) で与えられる。また、 $\pi_1(V_n \cup_{\psi} V'_n)$ は (2) の表示を持つ抽象群となる。このとき、 $\pi_1(V_n \cup_{\psi} V'_n) = \{1\}$ となるのは $[\psi] \in AKB$ に限る。 ◀

参考文献

- [1] Baer, R.: Isotopie von Kurven auf orientierbaren, geschlossenen Flächen und ihr Zusammenhang mit der topologischen Deformation der Flächen, J. reine angew. Math., 159(1928), 101-111.
- [2] Birman, J.S.: On Siegel's modular group, Math. Ann., 191 (1971), 59-68.
- [3] _____: Mapping class groups of surfaces; A survey, Ann. of Math. Studies #79, Discontinuous Groups and Riemann Surfaces (ed. Greenberg), Princeton Univ. Press, 1974.
- [4] _____: BRAIDS, LINKS AND MAPPING CLASS GROUPS, Ann. of Math. Studies #82, Princeton Univ. Press, 1974.
- [5] _____: Poincaré conjecture and the homeotopy group of a closed orientable 2-manifold, J. Aust. Math. Soc., 17(1974), 214-221.

- [6] Birman,J.S. and Hilden,H.M.: On the mapping class groups of closed surfaces as covering spaces, Ann.of Math.Studies #66, Advances on the Theory of Riemann Surfaces (ed. Ahlfors et al.), Princeton Univ.Press, 1972.
- [7] Coxeter,H.S.M. and Moser,W.O.J.: GENERATORS AND RELATIONS FOR DISCRETE GROUPS, 3rd ed., Springer-Verlag, 1972.
- [8] Dehn, M.: Die Gruppe der Abbildungsklassen, Acta Math., 69 (1938), 135-206.
- [9] Epstein,D.B.A.: Curves on 2-manifolds and isotopies, Acta Math., 115(1966), 83-107.
- [10] Goeritz, L.: Die Abbildungen der Brezelflachen und der Vollbrezel vom Geschlecht 2, Abh.Math.Sem.Univ.Hamburg, 9 (1933), 244-259.
- [11] Griffiths,H.B.: Automorphisms of a 3-dimensional handlebody, Abh.Math.Sem.Univ.Hamburg, 26(1964), 191-210.
- [12] _____: Some elementary topology of 3-dimensional handlebodies, Comm.Pure and Appl.Math., 17(1964), 317-334.
- [13] Hua,L.K. and Reiner,I.: On the generators of the symplectic modular group, Trans.Amer.Math.Soc., 65(1949), 415-426.
- [14] Klingen,H.: Charakterisierung der Siegelschen Modulgruppe durch ein endlisches System definierender Relationen, Math. Ann., 144(1961), 64-82.
- [15] Lickorish,W.B.R.: A finite set of generators for the homeotopy group of a 2-manifold, Proc.Camb.Phil.Soc., 60 (1964), 769-778. Also Corrigendum, 62(1966), 679-681.
- [16] Magnus, W.: Uber n-dimensionale Gittertransformationen, Acta Math., 64(1934), 353-367.
- [17] Magnus.W., Karass,A. and Solitar,D.: COMBINATORIAL GROUP THEORY, Interscience, 1966.
- [18] McMillan Jr.,D.R.: Homeomorphisms on a solid torus, Proc. Amer.Math.Soc., 14(1963), 386-390.

- [19] Mangler,W.: Die Klassen von topologischen Abbildungen einer geschlossenen Fläche auf sich, Math.Z., 44(1939), 541-554.
- [20] Nielsen,J.: Untersuchen zur Topologie der geschlossenen Zweiseitigen Flächen I, Acta Math., 50(1927), 184-358.
Also, III, Acta Math., 58(1932), 87-167.
- [21] Suzuki,S.: On homeomorphisms of a 3-dimensional handlebody, Can.J.Math., (to appear).
- [22] 寺阪英寿: 平曲面上の閉曲線群について, 数理解析研究
所講究録 219 (1974), 70-87.
- [23] Zieschang,H.: Über einfache Kurven auf Vollbrezeln, Abh. Math.Sem.Univ.Hamburg, 25(1962), 231-250.